

Molekulska dinamika

Mihajlo Etinski

- Uvod
- Racunarske simulacije
- Osnove
- MD argona u NVE ansamblu
- Napredne teme
- Jos primera

Uvod

Eksperiment

- Priprema uzorka
- Merenja, osmatranja
- Skupljanje podataka
- Obrada podataka

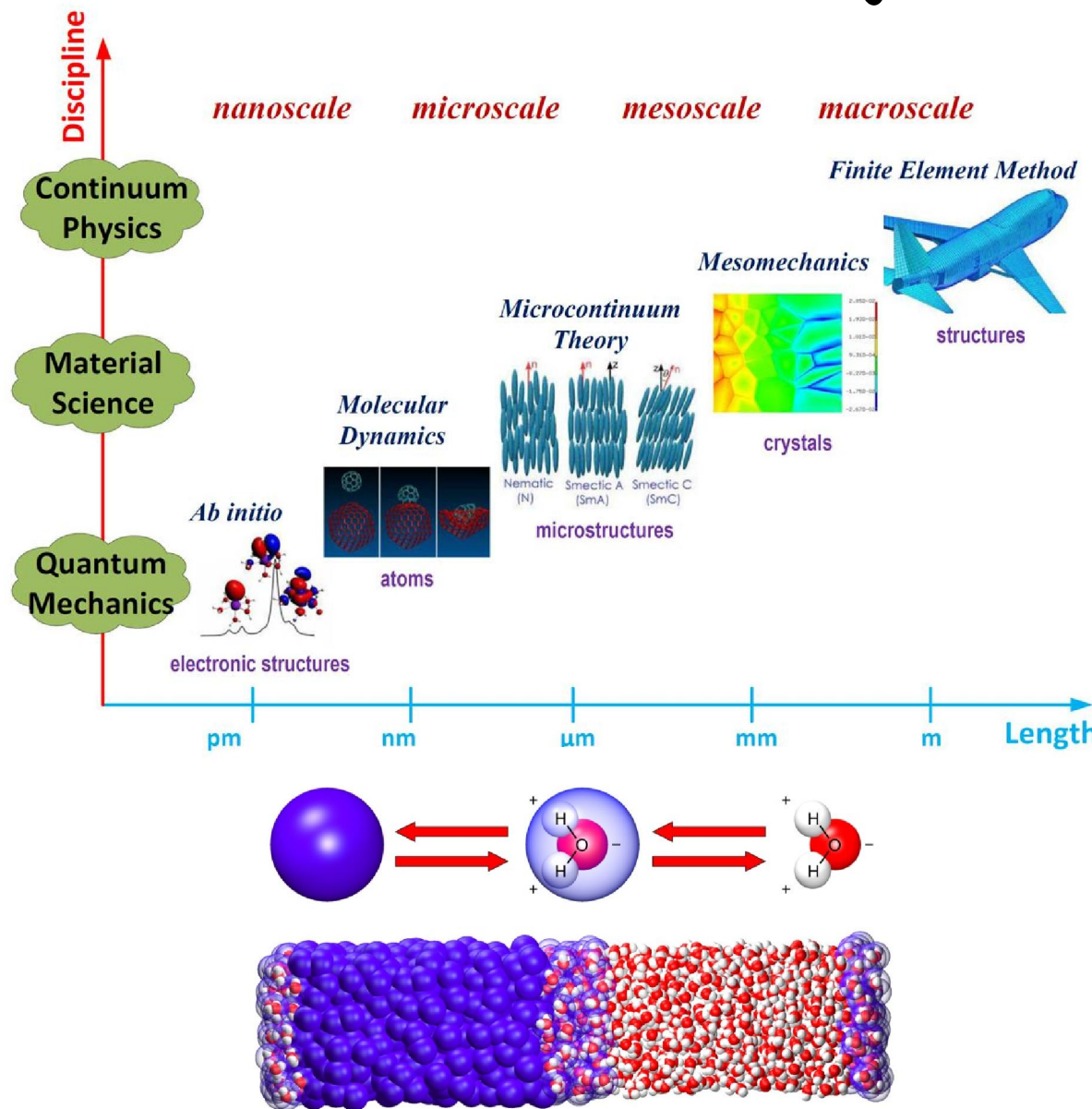
Teorija

- Razvijanje modela i hipoteza
- Predikcija eksperimenata

Računarske simulacije

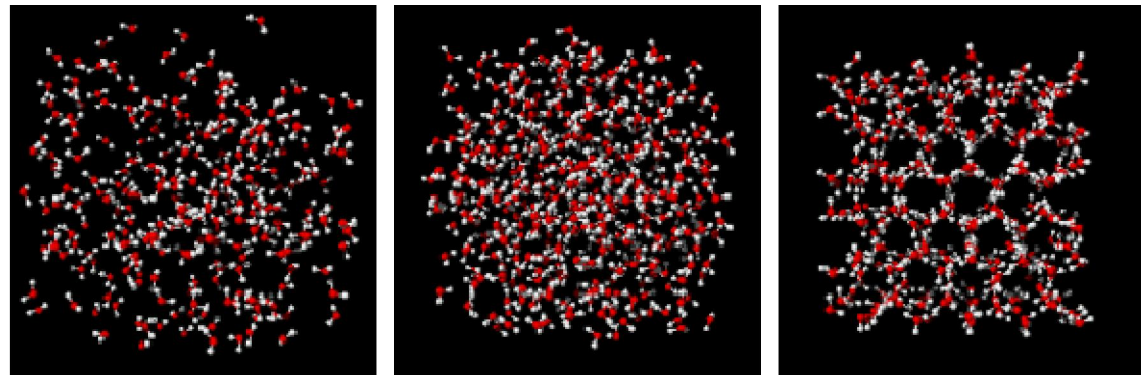
- Priprema modela
- Obrada podataka
- Testiranje teorija
- Mogućnost simulacije eksperimenata koje je teško izvesti

Sta želimo da modelujemo?

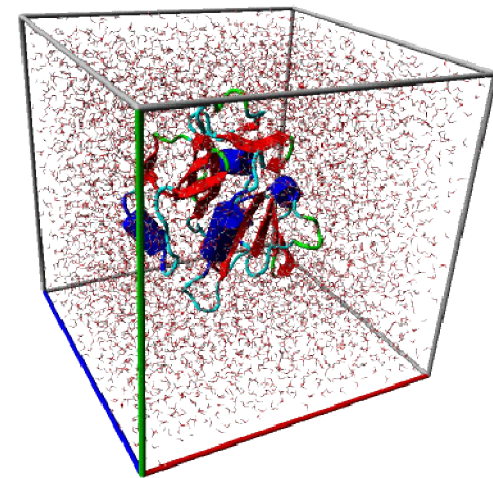


Sta želimo da modelujemo?

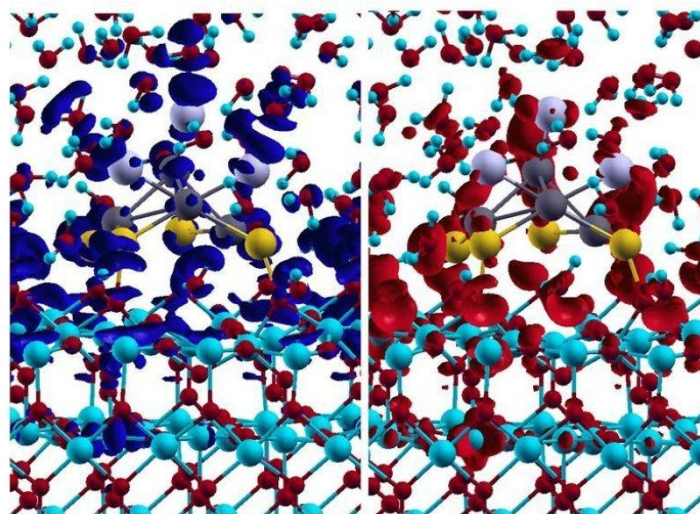
Fazni prelazi



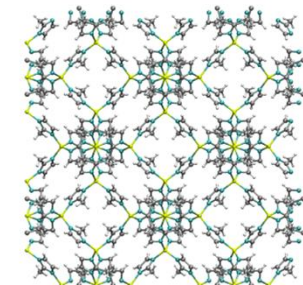
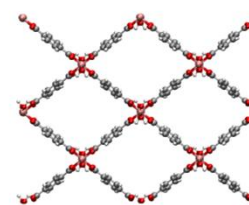
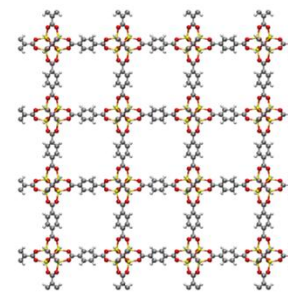
Biološke sisteme



Reakcione mehanizme

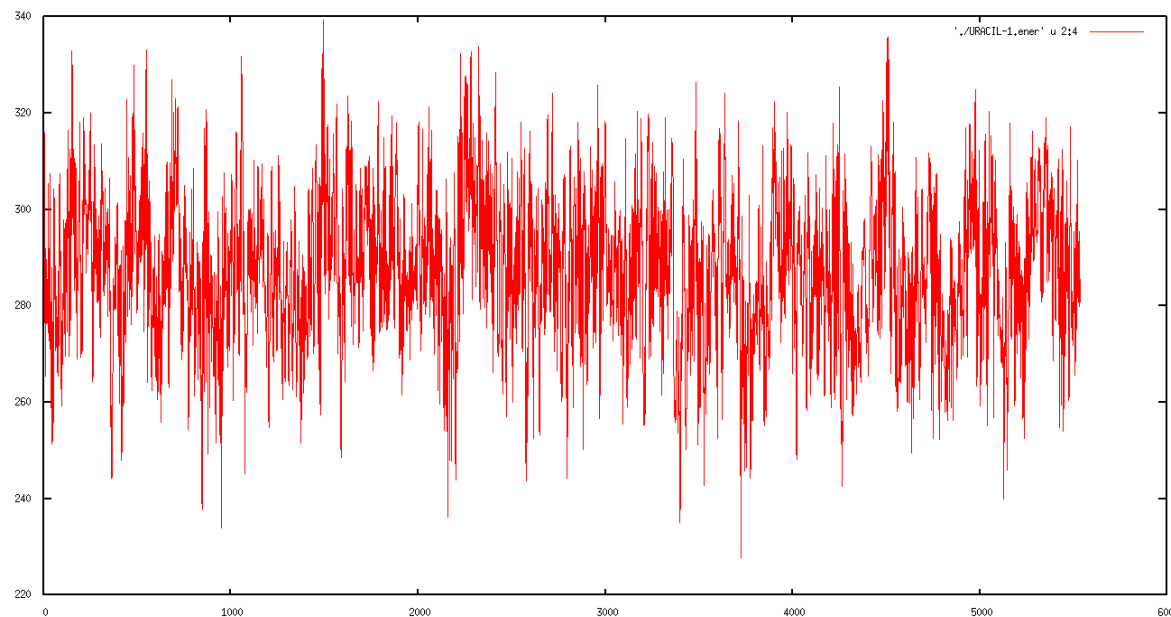


Osobine materijala



Računarske simulacije

- Računarske simulacije daju egzatno rešenje u okviru korišćenog modela
- Izbor modela sistema zavisi od toga sta želimo da simuliramo
- Računarske simulacije zbog vremenskog ograničenja prouzrokovanim ograničenim računarskim resursima obično razmatraju sisteme od 100-10000 čestica i vremenske opsege od 10 ps do 100 ns
- Srednja vrednost dinamičke promenjive i njena statistička greška

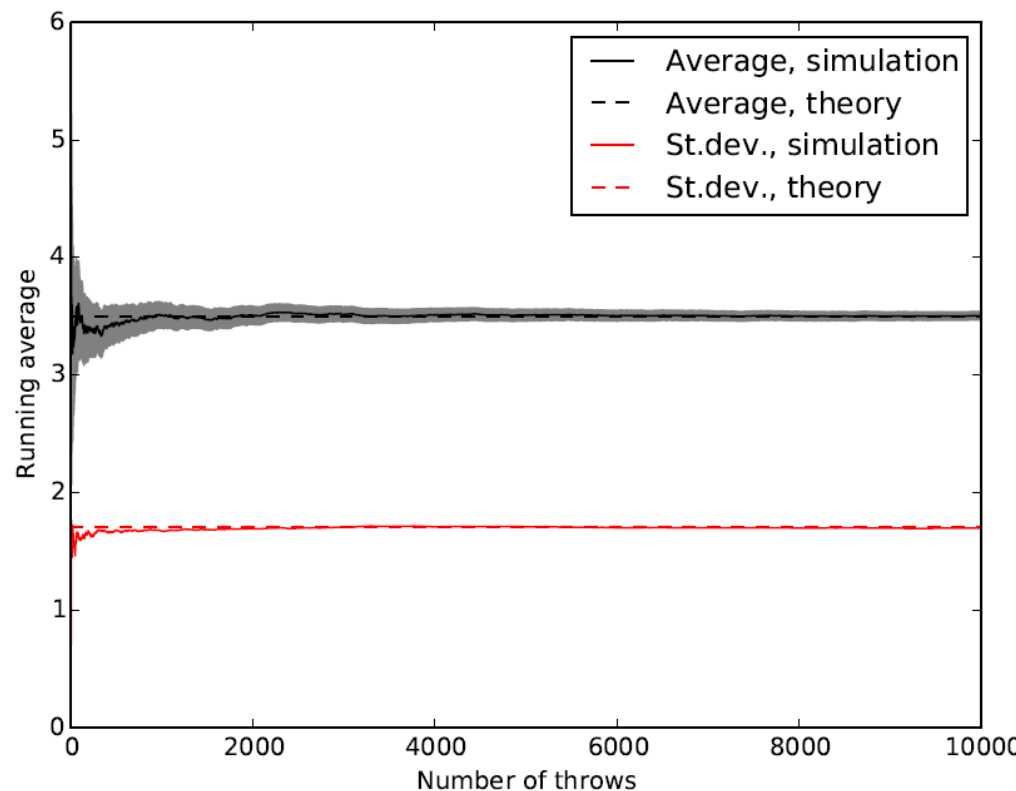


Kako proceniti kvalitet simulacije?

Primer: bacanje kockice

Srednje vrednost $\langle x \rangle = \sum i p_i x_i = 3.5$

Standardna devijacija $\sigma = \sqrt{\langle x^2 \rangle - \langle x \rangle^2} \approx 2.92$



Osnove

Izračunati sile koje deluju na čestice i rešiti Njutnove jednačine kretanja

Srednja vrednost termodinamičkih promenjivih se računa koristeći vremensku usrednjenost

Mogu se računati vremenski nezavisne (termodinamičke i strukturne) ali i vremenski zavisne (kinetički koeficienti) osobine sistema

Koraci tokom izvođenja simulacije:

Inijalizacija sistema

Uravnotežnjenje sistema

Proizvodnja rezultata

Obrada podataka

Koraci tokom izvodjenja eksperimenta:

Priprema uzorka

Merenje

Obrada podataka

Born-Openhajmerova aproksimacija za molekule: Atomska jezgra se kreću na površi potencijalne energije

Molekulska mehanika

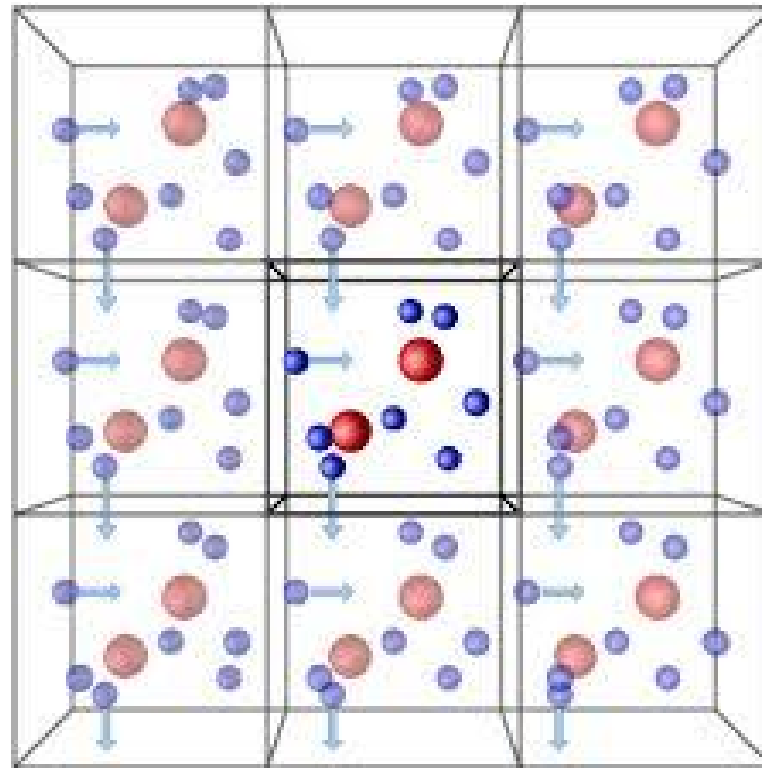
$$V = \sum_{vezes} k_r(r - r_{eq})^2 + \sum_{uglovi} k_\theta(\theta - \theta_{eq})^2 + \sum_{diedralniuglovi} \frac{1}{2}\pi_n(1 + \cos(n\varphi - \varphi_0)) + \sum_{i < j} \left(\frac{a_{ij}}{r_{ij}^{12}} - \frac{b_{ij}}{r_{ij}^6} + \frac{q_i q_j}{\epsilon r_{ij}} \right)$$

Ab initio potencijal

Potrebito je rešiti elektronsku Šredingerovu jednačinu u svakom koraku (BOMD)
Kretanje elektrona se uključuje preko fiktivnih stepeni slobode (CPMD)

Periodični uslovi

Potrebni su da bi se izbegao uticaj površinskih efekata na simulaciju



Čestice interaguju sa svim (beskonačno mnogo) replikama čestica

Ograničavanje interakcija

Da bi se izbeglo računanje interakcije sa beskonačno mnogo replika, obično se potencijali koji brzo opadaju ograničavaju do nekog rastojanja r_c . Izuzeci su Kulonov potencijal i interakcije dipolnih momenta.

Od posebnog interesa je slučaj $r_c=L/2$ - posmetra se interakcija čestice samo sa najблиžom replikom ostalih čestica

Ipak, moramo dodati korekciju za ukupnu potencijalnu energiju

$$U = \sum_{i < j} u_c(r_{ij}) + \frac{N\rho}{2} \int_{r_c}^{\infty} u(r) d^3r$$

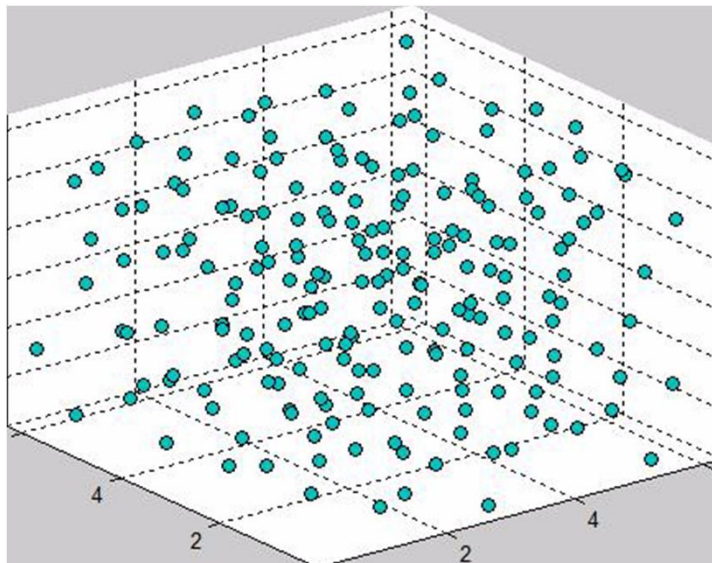
Primer: Molekulska dinamika argona u NVE ansamblu

Atomi argona su sfernosimetrični te stoga interaguju međusobno samo Lenard-Džonsovim potencijalom

$$u(\vec{r}_1, \vec{r}_2) = u(r) = 4\epsilon \left(\left(\frac{\sigma}{r} \right)^{12} - \left(\frac{\sigma}{r} \right)^6 \right)$$

Ukupna potencijalna energija za sistem atoma argona:

$$V(\vec{r}_1, \vec{r}_2, \dots, \vec{r}_N) = \sum_{i=1}^N \sum_{j < i} u(\vec{r}_i, \vec{r}_j)$$



Ograničen i pomeren potencijal

Ograničeni LJ potencijal

$$u(r) = \begin{cases} u(r) & r \leq r_c \\ 0 & r > r_c \end{cases}$$

Ograničeni i pomereni LJ potencijal

$$u(r) = \begin{cases} u(r) - u(r_c) & r \leq r_c \\ 0 & r > r_c \end{cases}$$

Uslov minimalne slike $r_c = L/2$

Korekcije repa za potencijalnu energiju po atomu i pritisak

Trenutna temperatura u sistemu se izračunava iz kinetičke energije (N_{tr} je broj stepeni slobode):

$$T(t) = \frac{2K}{kN_{tr}}$$

Pritisak argona se izračunava pomoću dinamičke promenjive virijal:

$$P = \frac{kTN}{V} + \frac{vir(\vec{r}_1, \vec{r}_2, \dots, \vec{r}_N)}{3V} \quad vir(\vec{r}_1, \vec{r}_2, \dots, \vec{r}_N) = \sum_{i=1}^N \sum_{j<i} \vec{F}(\vec{r}_i, \vec{r}_j) \cdot (\vec{r}_i - \vec{r}_j)$$

x -komponenta sile između dva atoma: $F_x = \frac{48x\epsilon}{r^2} \left(\left(\frac{\sigma}{r}\right)^{12} - \frac{1}{2} \left(\frac{\sigma}{r}\right)^6 \right)$

$$\vec{F}(\vec{r}_i, \vec{r}_j) \cdot (\vec{r}_i - \vec{r}_j) = F_{x_{i,j}} \cdot x_{i,j} + F_{y_{i,j}} \cdot y_{i,j} + F_{z_{i,j}} \cdot z_{i,j} =$$

$$= 48\epsilon \left(\left(\frac{\sigma}{r}\right)^{12} - \frac{1}{2} \left(\frac{\sigma}{r}\right)^6 \right)$$

Inicijalizacija:

Izabratи broj čestica, gustину, dužину vremenskog koraka za dinamiku,...

Izabratи поčetni položaj čestica. Poželjno je da se čestice ne preklapaju. Dобра поčетна конфигурација је npr. kада се čestice налазе у čvorovima jednostavне кубне kristalne rešetke

Brzine čestica u početku biramo na slučajan начин, pogodно из Maksvelove raspodele за задату temperaturu. Ukupni linearni moment treba да је jednak nuli (time smanjujemo број stepeni slobode за 3)

Uravnoteženje:

Početno stanje je malo verovatno stanje za termodinamičke parametre koje želimo da simuliramo. Stoga je potrebno pripremiti sistem u stanje koje odgovara željenim parametrima. Tome služi uravnotežnjenje sistema.

Iako se koristiti NVE ansambl za uzorkovanje stanja, pogodno je pripremiti sistem na željenu temperaturu. U tu svrhu koristimo skaliranje brzina čestica na odabranu temperaturu tokom ovog dela simulacije sa faktorom

$$\sqrt{\frac{T}{T(t)}}$$

Ovakvo skaliranje temperature ne oponaša NVT ansambl, ali je pogodno kao brz metod za uravnotežnjenje sistema

Jednačine kretanja

$$\vec{r}(t + \Delta t) = \vec{r}(t) + \vec{v}(t)\Delta t + \frac{\Delta t^2}{2m} \vec{f}(t) + \frac{\Delta t^3}{3!} \ddot{\vec{r}}(t) + O(\Delta t^4)$$

$$\vec{r}(t - \Delta t) = \vec{r}(t) - \vec{v}(t)\Delta t + \frac{\Delta t^2}{2m} \vec{f}(t) - \frac{\Delta t^3}{3!} \ddot{\vec{r}}(t) + O(\Delta t^4)$$

$$\vec{r}(t + \Delta t) + \vec{r}(t - \Delta t) = 2\vec{r}(t) + \frac{\Delta t^2}{m} \vec{f}(t) + O(\Delta t^4)$$

Verleov algoritam

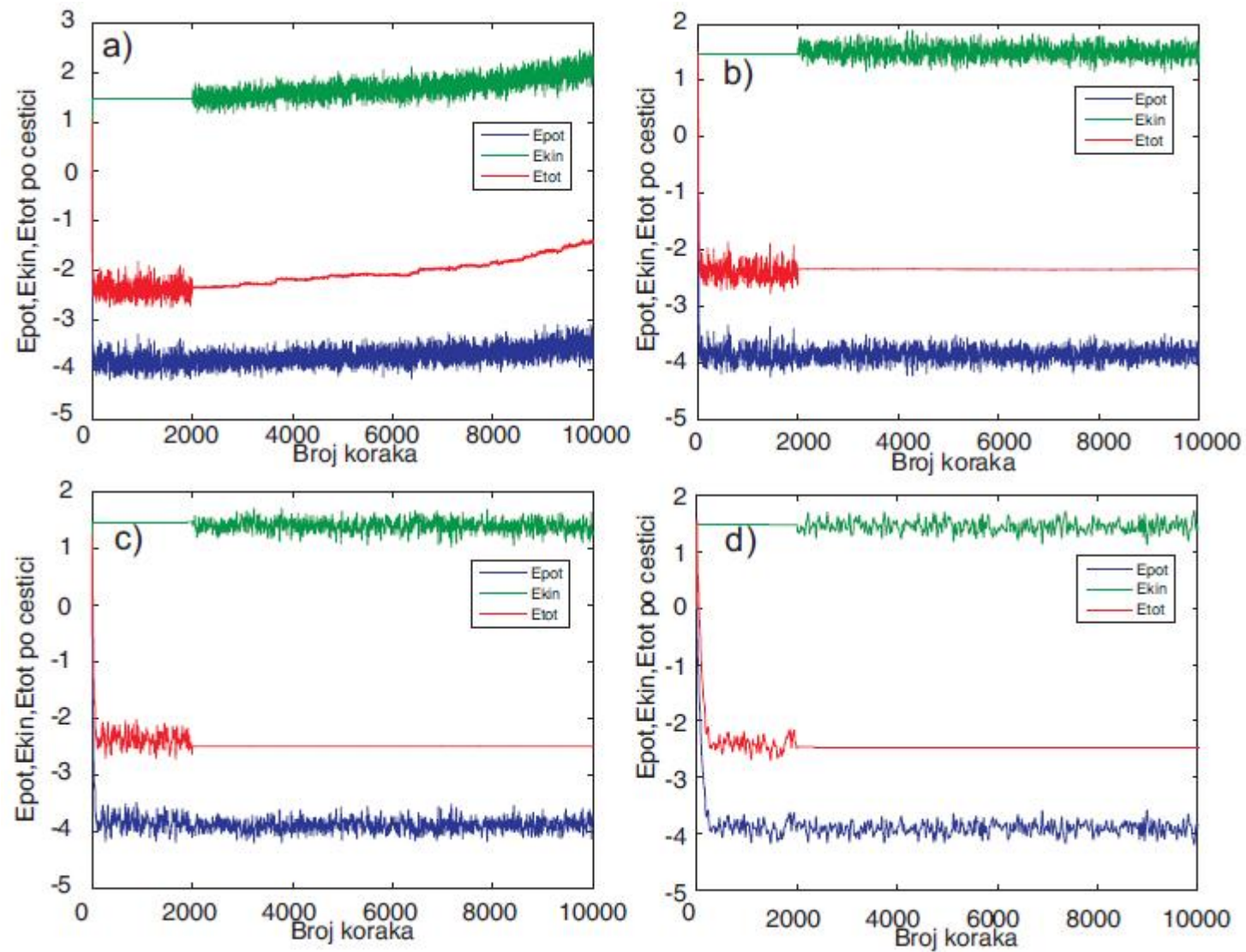
$$\vec{r}(t + \Delta t) \approx 2\vec{r}(t) + \vec{r}(t - \Delta t) + \frac{\Delta t^2}{m} \vec{f}(t)$$

Verleov algoritam ne koristi brzine da bi se odredili položaji čestica u sledećoj tački. Brzine se mogu odrediti na sledeći način:

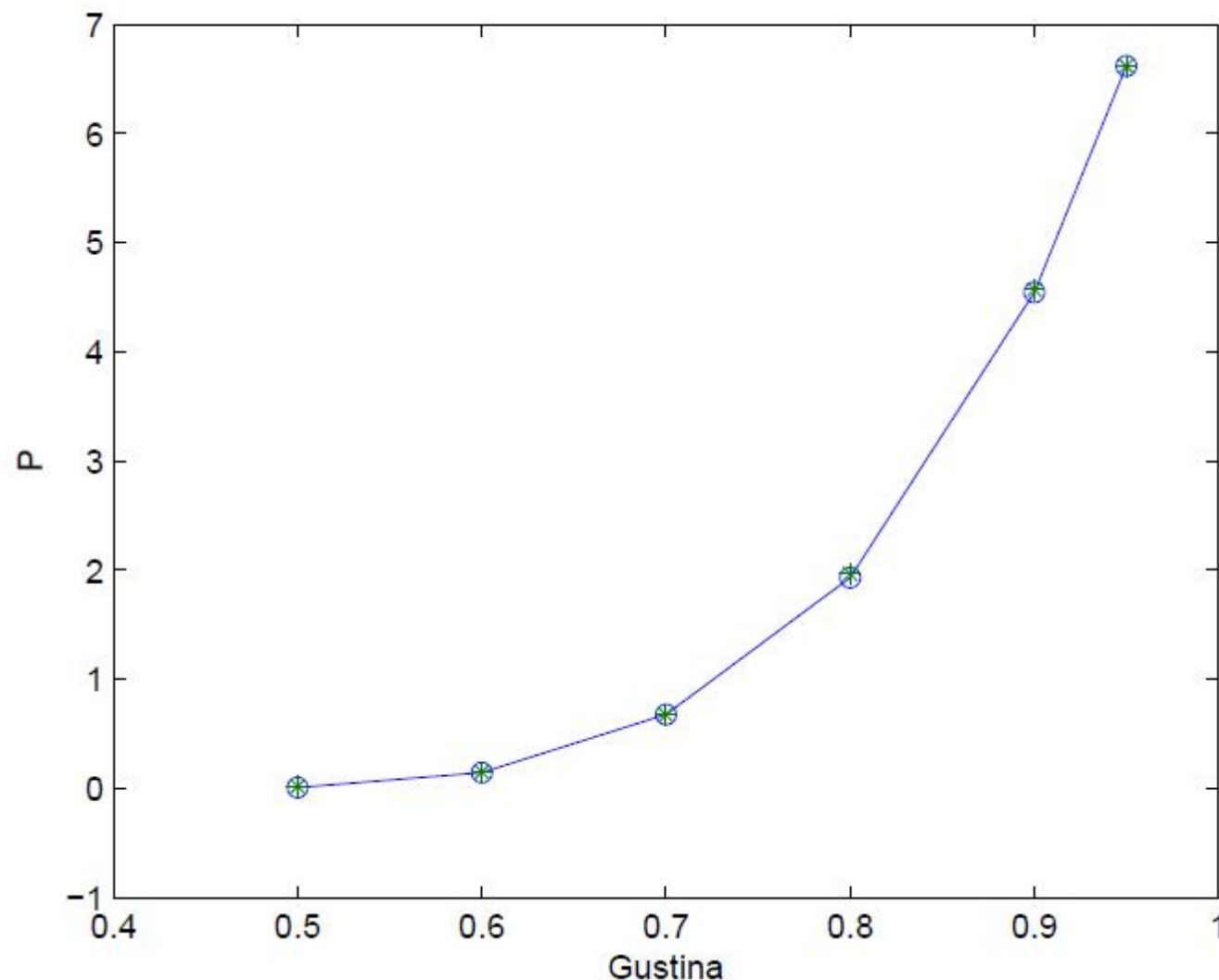
$$v(t) = \frac{\vec{r}(t + \Delta t) - \vec{r}(t - \Delta t)}{2\Delta t}$$

Najviše vremena potrebno je izračunavanje sila

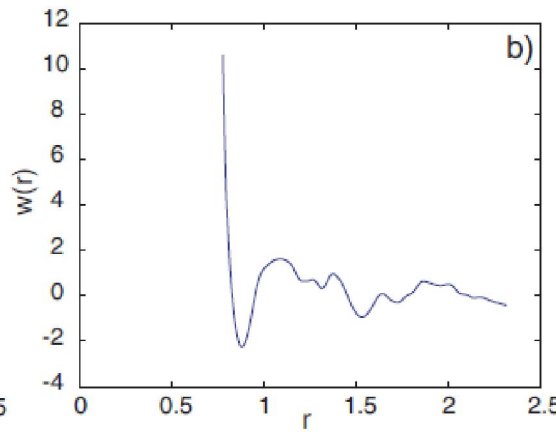
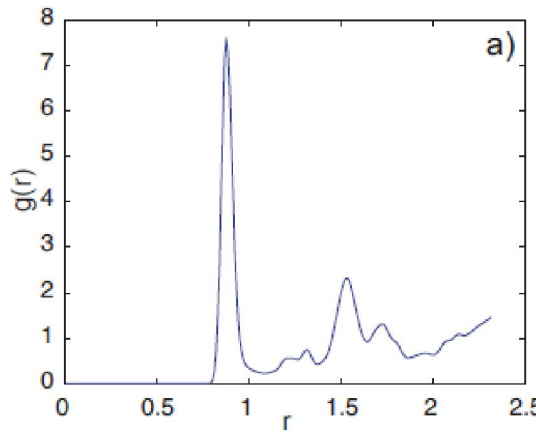
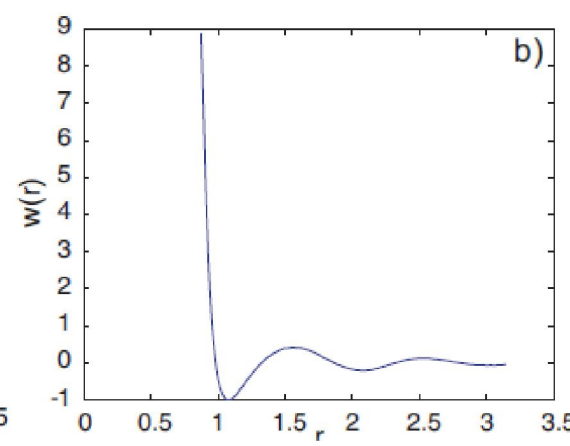
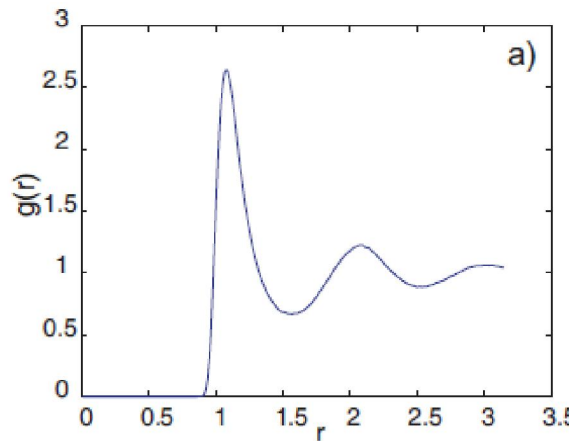
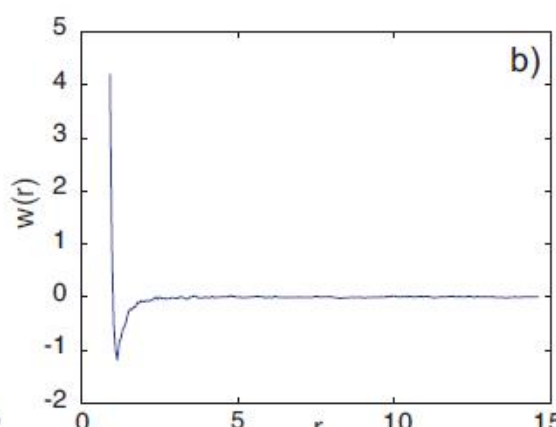
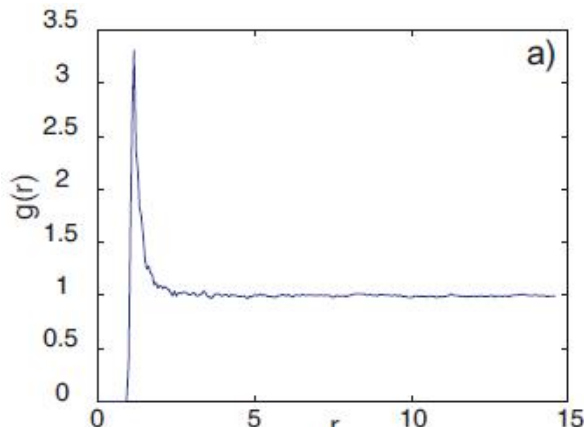
Kako odrediti dužinu vremenskog koraka za integraciju jednačina kretanja?



Izračunati pritisak (kružići) i vrednosti koje su dobili Džonson i saradnici (zvezdice) Mol. Phys. 591 78 1993, T=1,2



Radijalne funkcije raspodele i potencijali srednje sile



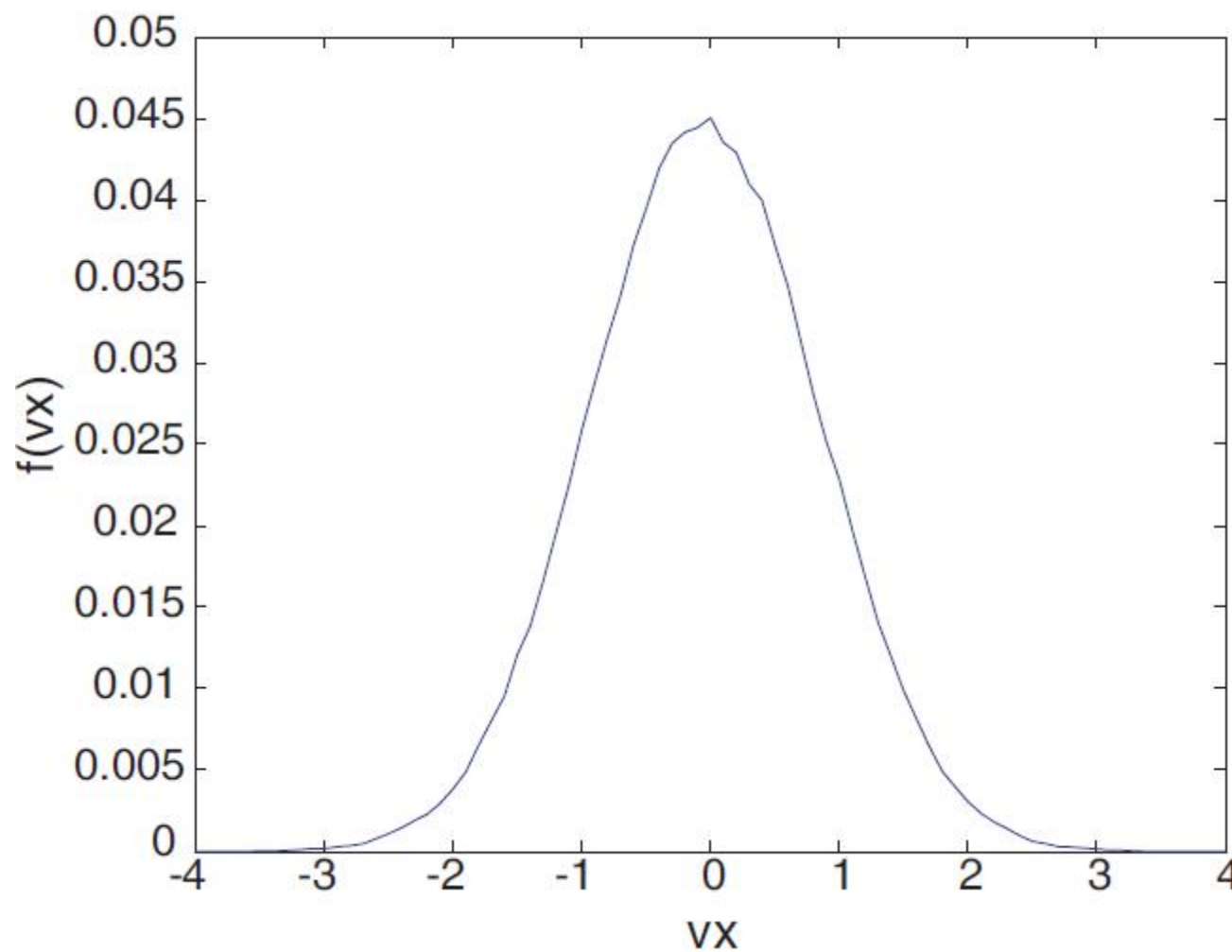
Radijalna funkcija raspodele:

$$g(r) = \frac{\langle N(r \pm \Delta r/2) \rangle}{\Omega(r \pm \Delta r/2)} \frac{1}{\rho}$$

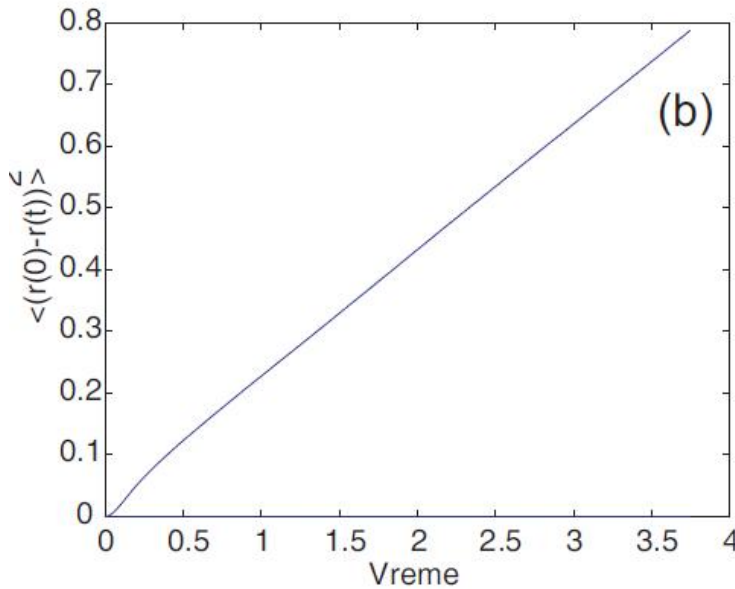
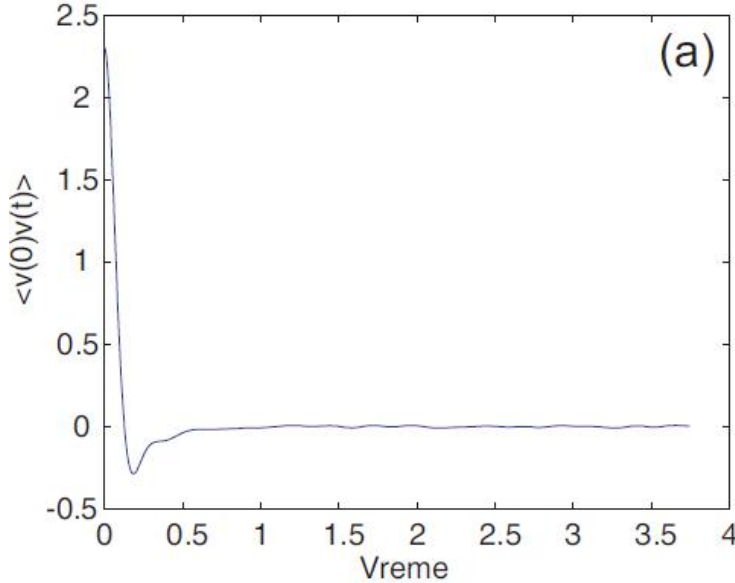
Potencijal srednje sile:

$$w(r) = -kT \ln g(r)$$

Raspodela x-komponente brzine argona



Autokorelaciona funkcija brzine i srednji kvadratni pomeraj atoma argona



Koeficijent difuzije:

$$D = \frac{1}{3} \int_0^\infty \langle \vec{v}(0)\vec{v}(t) \rangle dt$$
$$D = \lim_{t \rightarrow \infty} \frac{\langle |\vec{r}(0) - \vec{r}(t)|^2 \rangle}{6t}$$

Napredne teme

Velocity Verlet algoritam

$$x(t+dt) = x(t) + v(t)dt + 0.5 * a(t) * dt^2$$
$$v(t+dt) = v(t) + (a(t) + a(t+dt)) * dt / 2$$

$a(t+dt)$ se izracunava iz potencijala u konfiguraciji $x(t+dt)$

Leap Frog, Bimanov, prediktor-korektor algoritam

Molekulska dinamika u različitim ansamblima?

Ansambl	Konstantne veličine	Termodinamičke funk.
Mikrokanonski	N,V,E	$S=k \ln \Gamma(N,V,E)$
Kanonski	N,V,T	$\beta F = -\ln Q(N,V,T)$
Izobarski-izotermski	N,P,T	$\beta G = -\ln \Delta(N,P,T)$

Rezervoari

Andersenov termostat

Toplotno kupatilo deluje stohasticki na brzine slucajno izabranih cestica. Izmedju menjanja brzina cestica, sistem ima konstantnu energiju.

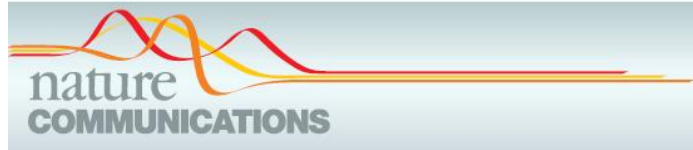
Algoritam:

1. Integraliti jednacine kretanja na intervalu dt
2. Odredjeni broj cestica se izabere da interaguje sa rezervoarom.
Verovatnoca da se cestica izabere u vremenskom intervalu dt je vdt , v je frekvencija interakcije rezervoara sa sistemom.
3. Ako je cestica izabrana da interaguje sa rezervoarom, njena nova brzina se dodeljuje iz Maksvelove raspodele na temperaturi T .

Noze-Huverov termostat - deterministicki termostat

Barostat - menja se zapremina simulacione kutije

Jos primera



ARTICLE

Received 9 Dec 2015 | Accepted 27 May 2016 | Published 30 Jun 2016

DOI: 10.1038/ncomms12067

OPEN

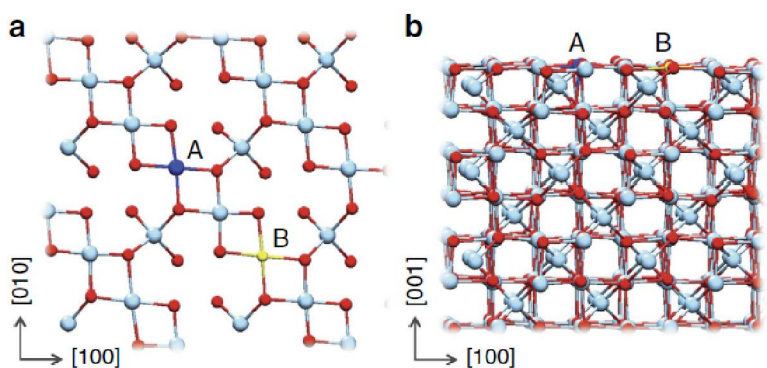
Impeding $^{99}\text{Tc}(\text{IV})$ mobility in novel waste formsMal-Soon Lee¹, Wooyong Um^{2,3}, Guohui Wang², Albert A. Kruger⁴, Wayne W. Lukens⁵, Roger Rousseau¹ & Vassiliki-Alexandra Glezakou¹

Figure 1 | The B-truncated octahedral $\text{Fe}_3\text{O}_4(001)$ structure. (a) Top view and (b) side view of surface structure. Red and cyan circles represent oxygen and iron, respectively. A (blue circle) can be either Fe or Tc and B (yellow circle) can be either Fe or an impurity atom (Ni/Zn/Co).

"AIMD simulations were performed with and without Tc at 25 °C and with the dopants Co/Ni/Zn at 600 °C, with the Nose'-Hoover thermostat for NVT ensemble and a time step of 1.0 fs. Each simulation was equilibrated for at least 20–28 ps, and the last 10–12 ps of the trajectories was used for the analysis."

"This work highlights the power of modern, state-of-the-art simulations to provide essential insights and generate theory-inspired design criteria of complex materials at elevated temperatures."

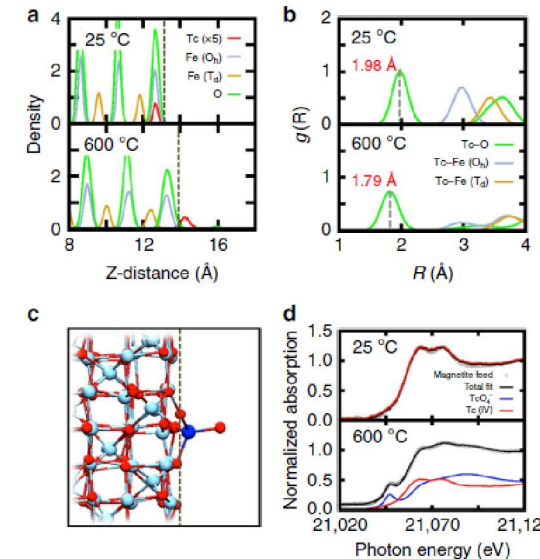
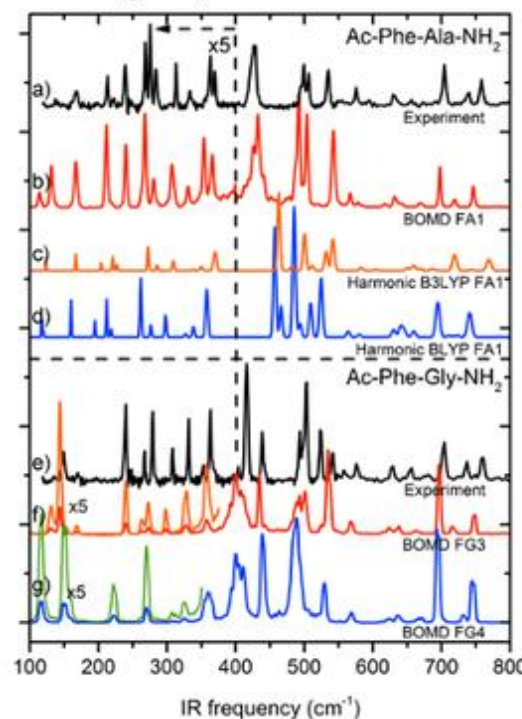
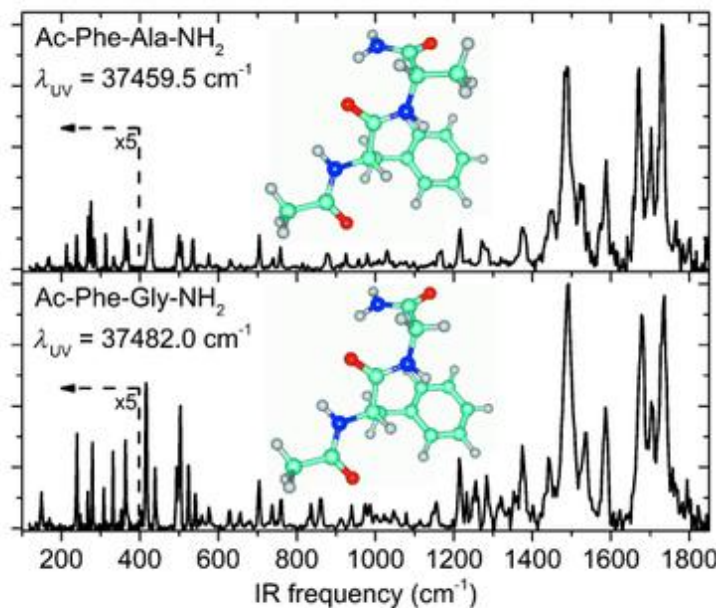


Figure 2 | Structural properties and XANES spectra in the presence of Tc.
 (a) Atomic-density profile showing atomic arrangement along the z -direction at 25 and 600 °C obtained from AIMD simulations, where dotted vertical line denotes the magnetite surface. (b) Pair distribution function $g(R)$ obtained from AIMD simulation trajectories at 25 and 600 °C.
 (c) Snapshot of the structure at 600 °C from AIMD trajectories where a blue circle represents Tc, red for O and cyan for Fe. The dotted vertical line denotes the magnetite surface. (d) Normalized XANES spectra at 25 and 600 °C.

Far-IR Spectroscopy

Gas-Phase Peptide Structures Unraveled by Far-IR Spectroscopy: Combining IR-UV Ion-Dip Experiments with Born–Oppenheimer Molecular Dynamics Simulations**

Sander Jaegx, Jos Oomens, Alvaro Cimas, Marie-Pierre Gaigeot,* and Anouk M. Rijs*





Ab initio molecular dynamics simulations of liquid water using high quality meta-GGA functionals[†]

Luis Ruiz Pestana,^a Narbe Mardirossian,^b Martin Head-Gordon^b and Teresa Head-Gordon^{*abc}

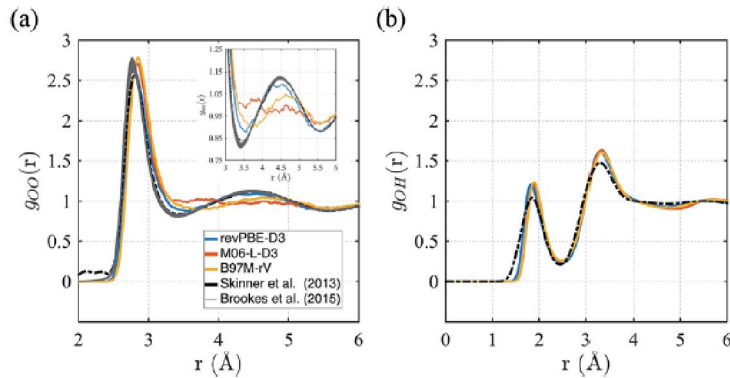


Fig. 1 Radial distribution functions for revPBE-D3, M06-L-D3, and B97M-rV compared to recent experimental results.^{116,117} (a) $g_{OO}(r)$, the inset in panel (a) focuses on the region corresponding to the interstitial region and the 2nd hydration shell. (b) $g_{OH}(r)$.

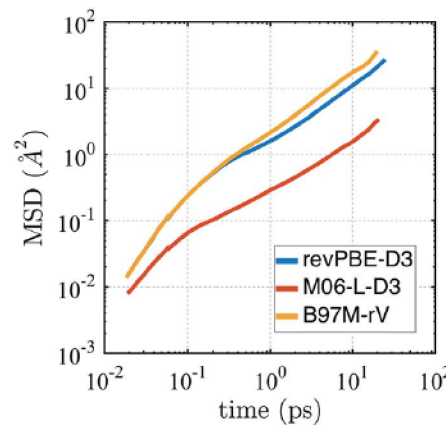


Fig. 4 Mean squared displacement (MSD) from AIMD simulations in the NVE ensemble for revPBE-D3, M06-L-D3, and B97M-rV on a log-log scale.

Ligand binding to telomeric G-quadruplex DNA investigated by funnel-metadynamics simulations

Federica Moraca^a, Jussara Amato^b, Francesco Ortuso^a, Anna Artese^a, Bruno Pagano^b, Ettore Novellino^b, Stefano Alcaro^a, Michele Parrinello^{c,d}, and Vittorio Limongelli^{b,e,1}

^aDipartimento di Scienze della Salute, University of Catanzaro "Magna Græcia," I-88100 Catanzaro, Italy; ^bDepartment of Pharmacy, University of Naples "Federico II," I-80131 Naples, Italy; ^cDepartment of Chemistry and Applied Biosciences, Eidgenössische Technische Hochschule Zürich, CH-8093 Zurich, Switzerland; ^dUniversità della Svizzera Italiana (USI), Faculty of Informatics, Institute of Computational Science, CH-6900 Lugano, Switzerland; and ^eUniversità della Svizzera Italiana (USI), Faculty of Informatics, Institute of Computational Science – Center for Computational Medicine in Cardiology, CH-6900 Lugano, Switzerland

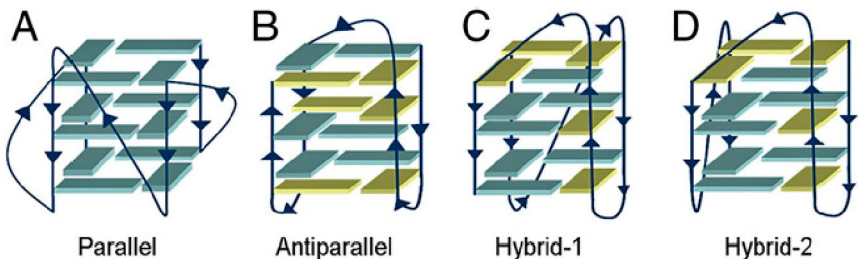


Fig. 1. Schematic representation of the human telomeric G4-DNA folding topologies. (A) Parallel or propeller type, as identified by X-ray in presence of K⁺; (B) antiparallel or basket-like, as detected in Na⁺ solution; (C) hybrid type 1 and (D) hybrid type 2, both found in K⁺ solution. *Syn* and *anti* guanines glycosidic bond orientation are colored in yellow and cyan, respectively.

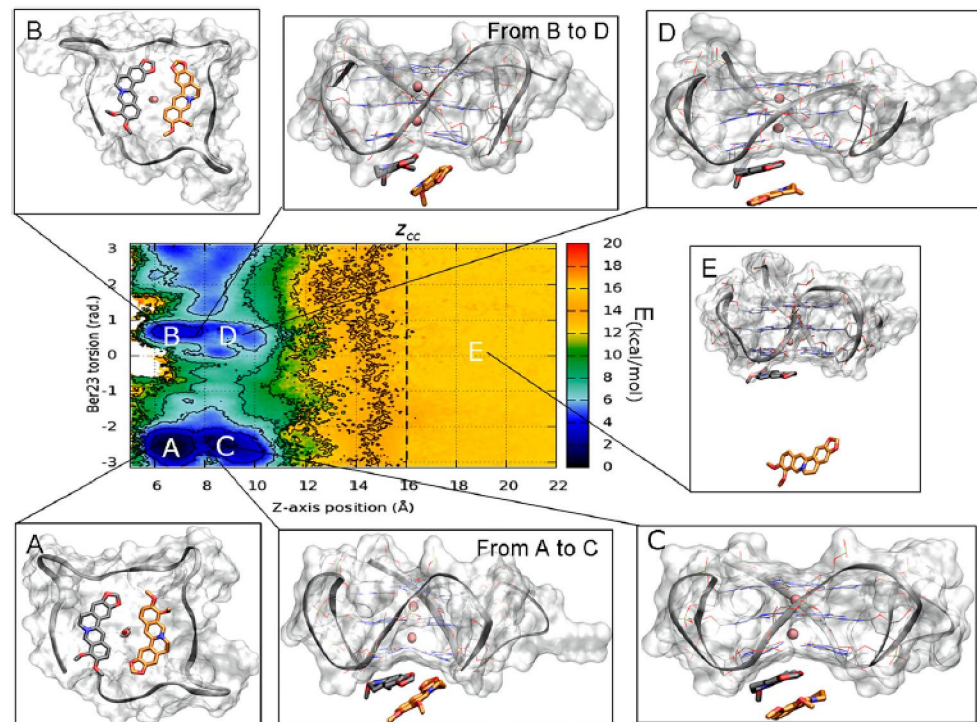


Fig. 6. The binding FES calculated using the reweighting algorithm as a function of Ber23 π (in radians) CV and the funnel z-axis position. Isosurfaces are shown every 2 kcal/mol. Beyond the minima (A) and (B), in which the siml X-Ray and the alternative conformations are respectively found, in this FES representation two further energy basins (C) and (D) appear, elucidating the binding mechanism of Ber23 to DNA. (E) Representation of one of the isoenergetic conformations found in the unbound state when $z_{cc} > 16$ Å. Here, the ligand has no contacts with the target and can assume a wide number of isoenergetic conformations. Ber25 and Ber26 are omitted for clarity.